

# AgNOR

## در اپیتلیوم آندومتر نرمال، هیپرپلازیک و کارسینوم

### نویسندگان :

دکتر عباسعلی امید\* - استادیار پاتولوژی

دکتر نوریه شریفی - استادیار پاتولوژی

دکتر بیژن منصف - رزیدنت پاتولوژی

# AgNOR

## In the normal, hyperplastic, and carcinomatous epithelium of endometrium

### Abstract:

#### Background:

This study was designed to evaluate the usefulness of argyrophilic nucleolar organizer region protein (AgNOR) as a marker of proliferate activity in benign and malignant cell. we have employed the AgNOR technique in order to differentiate the normal, hyperplastic and carcinoma of endometrium .

#### Materials and methods:

AgNOR dots were counted in the 73 samples including: 26 samples of normal edometrium, 9 samples of simple endometrial hyperplasia, 9 samples of endometrial adenomatous hyperplasia, 12 samples of severe endometrial hyperplasia and 17 samples of endometrial carcinoma.

The parameters, which were characterized, include AgNOR dots in nuclei of hundered cells and also percentage of nuclei having at least 5 or more AgNOR dots per cell (distribution score).

#### Results:

The mean AgNOR dot counts increased from normal epithelium of endometrium to hyperplastic (simple, moderate, sever) and endometrial carcinoma

#### Conclusion:

The AgNOR technique is an easy and inexpensive method to differentiate benign endometrial cells from malignant endometrial cell in normal, Hyperplastic and neoplastic lesions

#### Key words:

Endometrium, Hyperplasia, AgNOR, and Carcinoma.

\* بخش پاتولوژی، بیمارستان قائم (عج)، مشهد

## مقدمه:

نقره رنگ می گیرند. صحت این تکنیک با بکارگیری rRNA نشان دار شده با موارد رادیواکتیو به اثبات رسیده است. تعداد نقاط شمارش AgNOR و همچنین شکل و اندازه در مراحل مختلف سیکل تقسیم سلولی متفاوت است و بیشترین تعداد AgNOR dot را در فاز G<sub>2</sub>, G<sub>1</sub> سیکل سلولی زمانی که فعالیت ترجمه ای و نسخه برداری حداکثر است داریم و این تعداد به موازات پرولیفراسیون سلولی افزایش می یابد (۲۲، ۲۱).

مطالعات متعددی در مورد استفاده از تکنیک AgNOR در بررسی ضایعات آندومتر گزارش می شود که حاکی از اختلاف شدید و معنی دار بین میانگین تعداد نقاط AgNOR (Mean AgNOR dot) آندومتر نرمال، هیپرپلازی و آدنوکارسینوم می باشد (۱۰، ۱۲، ۱۳، ۱۶، ۱۷، ۲۷).

از آنجائیکه مشکلات تشخیصی با استفاده از میکروسکپ نوری در رابطه با تمایز انواع هیپرپلازی آندومتریال با درجات متفاوت (خفیف، متوسط، شدید) وجود دارد و گاه با بررسی هیستوپاتولوژیک روتین و رنگ آمیزی H&E افتراق هیپرپلازی آتی پیک (شدید) و آدنوکارسینوم آندومتر بخصوص در نمونه های کورتاژ مشکل است بر آن شدید تا با استفاده از رنگ آمیزی AgNOR انواع هیپرپلازی آندومتر و کارسینوم آندومتر را مورد ارزشیابی قرار دهیم.

## مواد و روش ها:

## نمونه ها:

در این مطالعه ۷۳ نمونه از آرشیو بخش پاتولوژی بیمارستان قائم و امام رضا، شامل ۲۶ نمونه آندومتر نرمال، ۹ نمونه هیپرپلازی خفیف، ۹ نمونه هیپرپلازی متوسط، ۱۲ نمونه هیپرپلازی شدید آندومتر و ۱۷ نمونه کارسینوم آندومتر انتخاب شدند و موارد فوق توسط دوپاتولوژیست مورد بازبینی و تأیید هیستوپاتولوژیک قرار گرفتند.

هیپرپلازی آندومتر بعلاوت ارتباط آن با کارسینوم آندومتر شایسته توجه خاص است. بیش از ۵۰ سال قبل Hertig و (11, 14Sommers) فرضیه پیشرفت هیپرپلازی و هیپرپلازی آتی پیک آندومتر را به سوی کارسینوم آندومتریال ارائه دادند. از آن به بعد مطالعات متعددی توانایی ایجاد بدخیمی در برخی انواع هیپرپلازی آندومتر و فرضیه پیشرفت آتی پی غدی آندومتریال و تبدیل آن به کارسینوم آندومتر را تأیید نموده اند (۲، ۳، ۴، ۱۵). مطالعات اخیر وجود شواهد آتی پیک سیتوپلاژیک را بهترین فاکتور یا عامل پیش گوئی کننده خطر پیشرفت به سوی آدنوکارسینوم می دانند (۱۱، ۱۴). از آنجا که اکثر اشکال شدید هیپرپلازی آندومتر آتی پی ساختمانی و سیتولوژیک داشته و ممکن است نمایی مشابه آدنوکارسینوم داشته باشند و بدون هیستریکتومی شاید نتوان بطور دقیق بین هیپرپلازی آتی پیک و سرطان افتراق داد اکثر مطالعات در جهت جستجوی ابداع روشهایی برای متمایز ساختن موارد فوق الذکر است.

در این زمینه روش ها و تکنیک های متعددی از جمله آنالیز مورفومتریک، ۲۷، ایمینو هیستوشیمی (۱۸، ۲۰، ۲۳)، فلوسیتومتری (۱۸، ۲۷) بکار گرفته شده است.

تکنیک AgNOR (Argyrophilic Nucleolar Organizer Region Protein) به عنوان یکی از نشانه های فعالیت بیولوژیک و پرولیفراتیو سلولی و مرکز ژنی جهت سنتز RNA و پروتئین سلولی می تواند مارکر مفید و مناسب در افتراق ضایعات خوش خیم و بدخیم ارگانهای مختلف باشد (۱، ۷، ۸، ۹، ۱۶، ۲۵، ۲۸).

AgNOR نواحی کروماتین هستکی و حلقه هایی از DNA در هستک می باشند که حامل ژن های کد کننده rRNA می باشد این اجزاء رشته ای هستکی همراه با یک سری از پروتئین های غیر هیستونی اسیدی هستند و بطور انتخابی با

## روش کار و رنگ آمیزی:

از هر بلوک پارافینی نمونه های انتخابی دو برش به ضخامت ۴ میکرون تهیه و به روش H&E و AgNOR رنگ آمیزی شدند. به این ترتیب پس از پارافین گیری و هیدراته نمودن اسلایدها رنگ AgNOR تازه تهیه شده روی لام ها ریخته شد و به مدت ۴۵ دقیقه در انکوباتور ۲۵ درجه در محیط تاریک قرار داده شد. پس از شستشو و آبگیری و شفاف کردن، لامل با چسب Merck چسبانده شد.

## روش ارزیابی:

یکصد سلول از نمونه های رنگ آمیزی شده به روش تصادفی (Random) انتخاب و با درشت نمایی ۱۰۰۰ نقاط AgNOR شمارش شد. برای بررسی Distribution score یکصد سلول از نمونه ها را به روش مجاورت انتخاب و سلول هایی که ۵ عدد AgNOR و یا بیشتر داشتند شمارش و درصد سلولهای ذکر شده محاسبه گردید.

## ارزیابی اطلاعات (Data Evaluation):

برای ارزیابی تعداد متوسط نقاط AgNOR و همچنین distribution score سلولهای اپی تلیوم نرمال، آندومتر هیپرپلازی و کارسینوم آندومتر از آزمون تحلیل واریانس یکطرفه (ANOVA) و آزمون چند دامنه ای دانکن استفاده شد که با  $P < 0.50$  از لحاظ آماری معنی دار تلقی گردید.

## نتایج:

میانگین شمارش نقاط AgNOR در هسته سلولهای آندومتر نرمال به سوی آندومتر هیپرپلازی با درجات متفاوت خفیف، متوسط، شدید و کارسینوم آندومتر افزایش معنی دار می یابد بطوریکه میانگین نقاط AgNOR در هسته هر سلول در مورد آندومتر نرمال در فاز پرولیفراتیو ۳/۴۵ و در فاز ترشحی ۱/۸۰ و در

مورد درجات مختلف هیپرپلازی خفیف، متوسط و شدید آندومتر به ترتیب ۴/۳۶، ۳/۷۹، ۲/۸۸ و مورد کارسینوم آندومتر ۵/۹۱ بدست آمده است (جدول شماره ۱ و ۲) و درصد تعداد پنج نقطه AgNOR و بیشتر در هسته یکصد سلول به ترتیب در فاز ترشحی ۰٪ در فاز پرولیفراتیو ۷/۵٪ و در هیپرپلازی خفیف آندومتر ۱۶/۶٪، در هیپرپلازی متوسط ۲۳/۱٪ و در هیپرپلازی شدید ۳۰/۸٪ و در کارسینوم آندومتر ۴۱٪ حاصل شده است (جدول و نمودارهای ۱ و ۲).

برای ارزیابی تعداد متوسط نقاط AgNOR و همچنین distribution score سلولهای اپی تلیوم نرمال، ضایعات هیپرپلازی و کارسینوم آندومتر از آزمون تحلیل واریانس یکطرفه (ANOVA) و آزمون چند دامنه ای دانکن استفاده شد که با  $P < 0.50$  از لحاظ آماری معنی دار تلقی گردید.

## بحث و نتیجه گیری:

رنگ آمیزی AgNOR در سال ۱۹۸۷ توسط Crocker (7) بعنوان روشی در افتراق نئوپلاسمهای بدخیم و خوش خیم معرفی شد (۲۸، ۱۶، ۹، ۷، ۱).

نقاط سیاهرنگ AgNOR نه تنها از نظر تعداد و شمارش در ضایعات خوش خیم و بدخیم متفاوت هستند بلکه اندازه و شدت رنگ پذیری و پراکندگی متفاوت دارند در مطالعات متعددی افزایش مشخص و معنی داری بین نقاط AgNOR در سلولهای کارسینوم آندومتر در مقایسه با انواع هیپرپلازی آندومتر با درجات متفاوت و آندومتر نرمال دیده شده است این نقاط که در رابطه با RNA پلی مران (9) Eagan و (3) Busch می باشند به عنوان فاکتور فعالیت پرولیفراتیو سلولی در تشخیص ضایعات پره نئوپلازیک مشابه هیپرپلازی آندومتر و نئوپلازیک مورد توجه می باشند.

این تکنیک (AgNORs) در مقایسه با سایر متدهایی که جهت ارزیابی فعالیت پرولیفراتیو سلولی

علاوه بر این بررسی آقای (Mahovlic ۲۱) و همکاران میانگین شمارش AgNOR را در آندومتر غیر فعال ۱/۲۰ و در مورد آدنوکارسینوم متمایز ۲/۸۰ گزارش کرده اند و آقای Kurman (۲۰) همکاران (۲۰) در ضایعات هیپرپلاستیک و درجات مختلف آن در آندومتر وظیفه مهم و کلیدی پاتولوژیست را تعیین و گزارش درجه آتپیی و فعالیت پرولیفراتیو سلولی عناصر اپیتلیال در نمونه های بافتی (کورتاز، بیوپسی) میدانند.

با توجه به نتایج بدست آمده از مطالعه حاضر که مؤید مطالعات محققین دیگر می باشد معتقدیم که با استفاده از رنگ آمیزی AgNOR میتوانیم تمایز و درجه بندی ضایعات هیپرپلازیک و کارسینوم آندومتر را با دقت و اطمینان بیشتر انجام دهیم. و به این ترتیب پیش آگهی و خطر پیشرفت انواع هیپرپلازی آندومتر به سوی کارسینوم آندومتر را با صحت بیشتر پیش گویی نمود. اکثر مؤلفین ضمن تأیید فواید و ارزش بالای تشخیصی تکنیک AgNOR در افتراق ضایعات خوش خیم و بدخیم روی این مسئله تمرکز دارند که جهت استاندارد نمودن این تکنیک قدم های مؤثرتری از جمله Computer assisted image Analysis را باید برداشت تا خطاهای چشمی و سایر پارامترهای دخیل در شمارش و ارزیابی نقاط AgNOR را به حداقل رساند.

یکار می رود دارای مزایایی است از جمله مقایسه با فلوسیتومتری نیاز به تکنولوژی گران قیمت ندارد قابل انجام بر روی بلوک های پارافین است و نتایج حاصل از آن هم بسیار صحیح تر از نتایج Proliferative cell nuclear Ag (PCNA) است (۱۰) در این مطالعه همان طور که در جداول و تصاویر نشان داده شده است میانگین تعداد نقاط AgNOR در سلولهای آندومتر نرمال در فاز پرولیفراتیو و ترشحی ۳/۴۵ و ۱/۸۰ و در مورد درجات مختلف هیپرپلازی آندومتر (خفیف، متوسط، شدید) به ترتیب ۴/۳۶، ۳/۷۹، ۲/۸۸ و در مورد کارسینوم آندومتر ۵/۹۱ می باشد و نتایج بررسی محققین مطالعه اخیر را مورد تأیید قرار داده است. نتایج مطالعات سایر محققین با تکنیک AgNOR در مورد ضایعات هیپرپلازیک و بدخیم آندومتر به موازات و مویید نتایج بدست آمده ما میباشد. به طوری که در یک مطالعه انجام شده توسط Constantine (۶) و همکاران چاپ شده در whirshow Archive cell pathology 1991 اختلاف مشخص کمی و کیفی در AgNOR سلولی در ضایعات هیپرپلاستیک و بدخیم و آندومتر نرمال گزارش گردیده است.

در این مطالعه تفاوت آماری مشخصی بین AgNOR سلولهای اپی تلیال آندومتر در دو فاز پرولیفراتیو و ترشحی سیکل قاعدگی دیده نشده است که در مطالعه ما نیز اختلاف معنی دار نشان داده نشده است.

۱- جدول برخی شاخصهای آماری برای تعداد نقاط AgNOR در ۱۰۰ سلول در گروههای مورد بررسی

گروهها	تعداد نمونهها	میانگین	انحراف معیار	واریانس	میانه مشاهدات	ماکزیم مشاهدات	دامنه تغییرات
ترشحی	۱۱	۱/۸۰	۰/۲۶	۰/۱۲	۱/۲	۲/۴	۱/۲-۲/۴
پرولیفراتیو	۱۵	۲/۴۵	۰/۷۲	۰/۵۱	۲/۷	۵/۲	۲/۷-۵/۲
هیپرپلازی ساده	۹	۲/۸۸	۰/۸۲	۰/۶۷	۱/۶	۴/۰	۱/۶-۴/۰
هیپرپلازی متوسط	۹	۳/۷۹	۰/۴۲	۰/۱۷	۳	۴/۵	۳-۴/۵
هیپرپلازی شدید	۱۲	۴/۳۶	۰/۹۹	۰/۹۸	۳	۶	۳-۶
کانسر	۱۷	۵/۹۱	۰/۶۰	۰/۳۶	۲/۵	۶/۸	۴/۵-۶/۸

۲- جدول تحلیل واریانس یکطرفه برای تعداد نقاط AgNOR در ۱۰۰ سلول در گروههای مورد بررسی

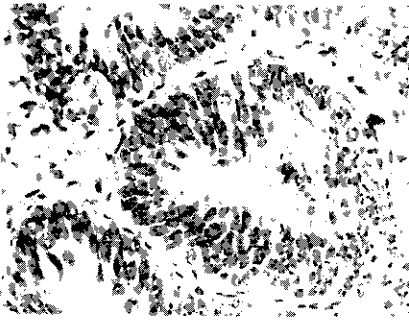
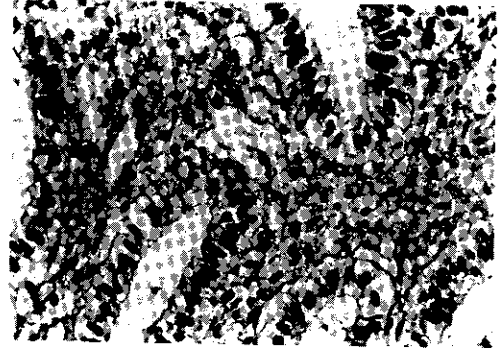
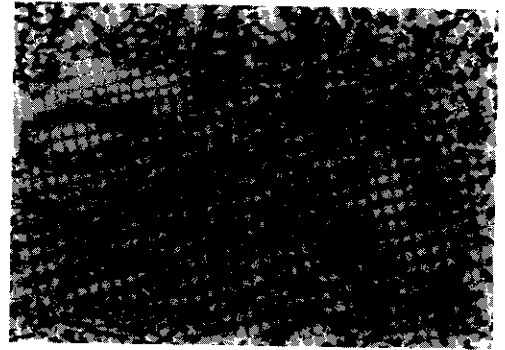
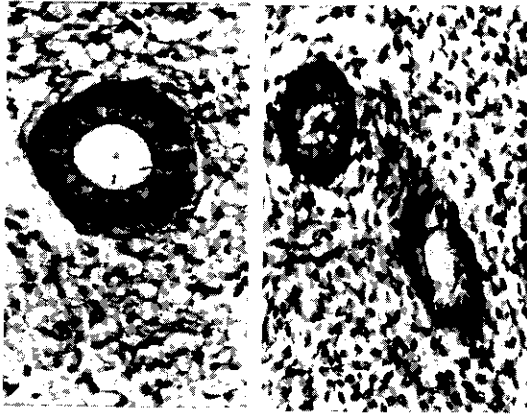
منابع تغییرات	درجه آزادی	مجموع مربعات	میانگین مربعات	آماره F	P مقدار
بین گروهها	۵	۱۳۲/۳۴	۲۶/۴۷	۵۵/۲۳	./.....
داخل گروهها	۶۷	۳۲/۱۱	۰/۴۸		
کل	۷۲	۱۶۴/۴۵			

۳- جدول برخی شاخصهای آماری برای درصد تعداد نقاط بیشتر از ۵ در گروههای مورد بررسی

گروهها	تعداد نمونهها	میانگین	انحراف معیار	واریانس	میانه مشاهدات	ماکزیمم مشاهدات	دامنه تغییرات
ترشحي	۱۱	—	—	—	—	—	—
پروليفراتيو	۱۵	٪۷/۵	٪۷	٪۴۹	٪۳	٪۲۰	٪۳-۳۰
هيپرپلازی ساده	۹	٪۱۶/۶	٪۳	٪۴	٪۱۲	٪۲۰	٪۱۲-۲۰
هيپرپلازی متوسط	۹	٪۲۳/۱	٪۳	٪۴	٪۲۰	٪۲۶	٪۲۰-۲۶
هيپرپلازی شديد	۱۲	٪۳۰/۸	٪۳	٪۹	٪۲۷	٪۳۶	٪۲۷-۳۶
کانسر	۱۷	٪۴۱	٪۴	٪۱۶	٪۳۳	٪۴۸	٪۳۳-۴۸

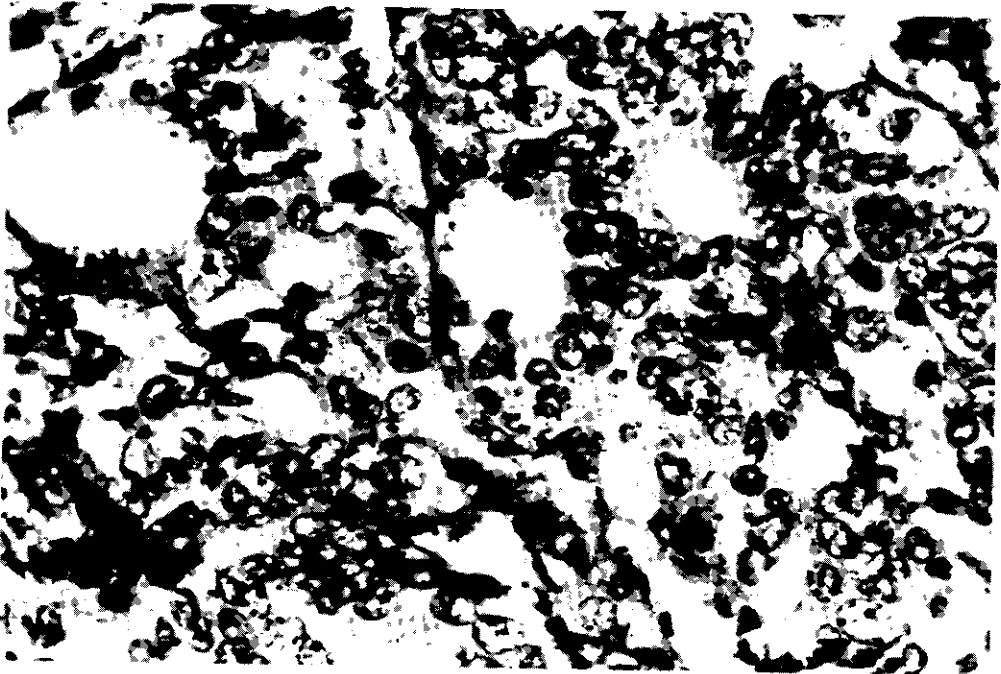
۴- جدول تحلیل واریانس یکطرفه برای درصد تعداد نقاط بیشتر از ۵ در گروههای مورد بررسی

منابع تغییرات	درجه آزادی	مجموع مربعات	میانگین مربعات	آماره F	P مقدار
بین گروهها	۴	۰/۹۸	۰/۲۵	۱۴۰/۳۷	./.....
داخل گروهها	۵۷	۰/۰۹۹	۰/۰۰۱۷		
کل	۶۱	۱/۰۸			



شکل ۲: نقاط AgNOR در هیپرپلازی، الف - ضعیف، ب - متوسط  
ج - شدید، آندومتر، بزرگنمایی ۴۰۰.

شکل ۱: الف - فاز پرولیفراتیو ب - فاز ترشمی.  
نقاط AgNOR آندومتر، بزرگنمایی ۴۰۰.



شکل ۳: نقاط AgNOR در آدنوکارسینوم آندومتر، بزرگنمایی ۴۰۰

## زمینه:

این مطالعه به منظور ارزیابی ارزش تشخیصی تکنیک (Argyrophilic Organizer Region protein) AgNOR در تمایز آندومتر نرمال و انواع هیپرپلازی آندومتر با درجات مختلف (خفیف، متوسط و شدید) و کارسینوم آندومتر انجام می شود. علاوه بر آن میزان پراکندگی نقاط AgNOR در هسته سلولها به عنوان نشان (marker) فعالیت پرولیفراتیو سلولی در سلولهای خوش خیم، هیپرپلاستیک و بدخیم مورد بررسی قرار می گیرد.

## روش ها:

نقاط AgNOR هستگی در ۷۳ نمونه بافتی، شامل ۲۶ نمونه آندومتر نرمال، ۹ نمونه هیپرپلازی خفیف آندومتر، ۹ نمونه هیپرپلازی متوسط، ۱۲ نمونه هیپرپلازی شدید آندومتر و ۱۷ نمونه کارسینوم آندومتر یال شمارش شده است. هسته سلولهای نمونه های فوق از نظر تعداد متوسط نقاط AgNOR در هسته یکصد سلول و میزان پراکندگی آن که مساوی یا بیش از پنج نقطه AgNOR داشتند (Distribution Score) مورد بررسی قرار گرفت.

## نتایج:

دامنه و میانگین نقاط شمارش شده AgNOR در یکصد سلول نمونه های آندومتر نرمال، هیپرپلازی آندومتر با درجات خفیف، متوسط، شدید و کارسینوم آندومتر بطور معنی داری به تدریج افزایش می یابد.

## نتیجه گیری:

مناطق رنگ پذیر هستگی (AgNOR) و بررسی کمی آن در تکنیک AgNORS به عنوان روش آسان و رزان در تمایز ضایعات هیپرپلازیک و نئوپلازیک بدخیم آندومتر می تواند مورد استفاده قرار گیرد.

## کلمات کلیدی: (Key Words)

آندومتر، هیپرپلازی، کارسینوم، AgNOR

## REFERENCES:

- 1 Arora B, Jeevan D, P unia RS, Kumar S, Arora DR AgNORS in squamous cell carcinoma of head and neck. Indian Med Assoc 2002;(5): 315-316.
- 2 Bartels PH, Garcia FA, Davis j, da Silva VD, Bartels HG, Thompson D, Albert's DS: progression curves for endometrial lesions. Anal Quant cytol Histol 2001; 23 (1): 1-81
- 3 Busch H. Nucleolar protein purification, isolation and function analysis. In: Hnilicia LLS ed. Chromosomal non-histone proteins. Vol IV. Chemical Rubber Company Press, Boca Raton, Florida 1984: 233-286.
- 4 Chalas E, Chumas J, Barbien R, Mann W. Nucleolar organizer regions in endometriosis Atypical endometriosis and clear cell and endometrioid carcinomas. Gynecol. Oncol. 1991; 40: 260-263
- 5 Coumbe, A., Mills. B. P, and Broun L. Nucleolar organizer regions in endometrial hyperplasia and neoplasia. Pathol. Res. Paract. 1990; 186: 254-259
- 6 Constantine S, Papadimitiou C, Athanasiadou S, Strhannidou A, Karameris A. Nucleolar organizer regions in the normal, hyperplastic, and carcinomatous epithelium of endometrium. Virchows Arch B Cell pathol. 1991; 60: 155 - 160.

- 7 Crocker J, Egan MJ. Correlation between NOR Size and numbers in non-Hodgkin's lymphomas. *J pathol* 1988; 156: 233 - 239.
- 8 Dervan P., Gilmartin L., Lofus B. Carney D. Argyrophilic nucleolar organizer region counts correlate with Ki67 scores. *Am. J. Clin. Pathol.* 1989; 92: 401- 407.
- 9 Eagan MJ, Raafat F, Crocker J, Smith K. Nucleolar organizer proteins in fibrous proliferations of childhood and infantile fibrosarcoma. *J Clin Pathol* 1988; 41: 31-33.
- 10 Ellinidi VN, Novik VI, Pozharisskii KM. Investigation of nucleolar Organizer region activity in epithelial cell of hyperplastic endometrial carcinoma *Tissu. Vopr Onkol* 2000; 46 (2): 187 -90.
- 11 Fox H, Buckley C. The endometrial hyperplasia and their relationship to endometrial neoplasia *Histopathology* 1982; 6: 493.
- 12 Garcia FA, Davis JR, Albert DS, Hatch K, Weyn B, Thompson D, Bartels PH. Nucleolar chromatin pattern in normal, hyperplastic and atypical endometrium. *Anal Quant Cytol Histol* 2001 23(2): 144-150.
- 13 Giuffre G, Fulcheri E, Gualco M, Fedele F, Tuccari G. Standardized AgNOR as a prognostic parameter in endometrial carcinoma, endometrioid type. *Anal Quant Cytol Histol* 2001; 23(1): 231-
- 14 Hertig AT, Sommers SC. Genesis of endometrial carcinoma. I. study of prior biopsies carcinoma cancer 1949; 2: 964.
- 15 Hung S, Amparo E, Fuy, B. endometrial hyperplasia : histologic classification and behavior. *Surg pathal* 1988; 1: 215-226.
- 16 Iyer VK, Raina, Dawar R. prognostic utility of silver stained nucleolar organizer region counting in non Hodgkins lymphoma. *Indian J Cancer* 2000; 37(4): 140-7.
- 17 Kaushik R, Sharma S, Mahajan V, Guloti A, Sharma BB. AgNORS in endometrial lesions. *Indian J pathol microbiol* 1999; 42(4): 451-4.
- 18 Khaled A, Imamura Y, Noriki S, Fukuda M. Early progression stage of malignancy of uterine cervical dysplasia as revealed by immunohistochemical demonstration of increased DNA-instability. *Eur J histochem* 2000; 44(2): 143-56.
- 19 Kenji N, Toshiko M, Shigeo M, Takuji T, Kuniyasu S, Teruhiko T. Changes in the Number of Silver-Stained Nucleolar Organizer Regions in the Normal Preneoplastic and Neoplastic Endometrium. *Cancer Detection and Prevention* .1995; 19(5): 436-440.
- 20 Kurman F, Kaminski P, Norris H. The behavior of endometrial Hyperplasia: A long-term study of untreated hyperplasia in 170 patient s. *Cancer* 1985; 56: 403-412.
- 21 Mahovec V, Audy-Jurcovic S, Ovanin-Rakic A, Bilusic M, Veldic M, Babic D, Bozиков J, Danilovi Z. Digital image analysis of the silver-stained nucleolar organizer region-associated proteins in endometrial cytology sample. *Anal Quant Cytol Histol.* 1999; 21(1) 47-53.
- 22 Miller B, Morris M, Silva F. Nucleolar organizer regions a potential prognostic factor in adenocarcinoma of the endometrium. *Gynecol oncol* 1994; 54(2): 137-147.
- 23 Mora L B, Diaz JI, Cantor AB, Nicosia SB. Differential diagnosis of endometrial hyperplasia and carcinoma by computerized image cytometry of cell proliferation, apoptosis, and Bcl-2, expression. *Ann clin Lab sci* 1999; 29 (4): 308- 15.
- 24 Ono M, Shiina Y. Cytological evaluation of angiogenesis in endometrial aspirates. *Cytopathology* 2001; 12 (1): 37- 43.
- 25 Terlikowski S, Lenczewski A, Famulski W, Sulkowski S, Sulkowska M, Kulikowski M. Proliferative activity in endometrial hyperplasia and Adenocarcinoma. *Histochem cytobiol* 2001; 39(2): 163-4.
- 26 Terlikowski S, Lenczewski A, Sulkowski S, Kolikowski M. Nucleolar organizer regions in differentiated preneoplastic and neoplastic endometrial lesion. *Gynecol Obstet Inves* 1999; 47(3): 205-209.
- 27 Ueda G, Sawada M, Ogawa H, Tanizawa O, Tsujimoto M. Immunohistochemical study of proliferating cell nuclear antigen (PCNA) in endometrial carcinoma with argyrophil cells *Gynecol Oncol* 1993; 48 (3): 314 -6.
- 28 Wierzechniewska A, Wagroowska-Danilewicz M, Danilewicz M. Value of AgNOR counts and morphometric analysis of nuclear parameters in premalignant and malignant lesion of the uterine cervix. *Pol J Pathol* 1998; (4): 297-301.
- 29 Wilkinson, N., Buckley, H., Chawder, L., and fox, H. Nucleolar Organizer regions in normal , regions in normal. Hyperplastic and neoplastic endometria, *J. Gynecol Pathol.* 1990; ( 9): 55-59.
- 30 Xie X, Lu WG, Ye DF, Chen HZ, Fu YF. The value of curettage in diagnosis of endometrial hyperplasia. *Gynecol oncol* 2002; 84(1): 135-9.